

УДК 537.534.3

Алгоритмы решения задач транспортировки заряженных частиц с помощью функции распределения. Бердников А.С.//Научное приборостроение. Формирование пучков заряженных частиц. Л.:Наука, 1990. - С. 37-43.

Рассмотрены приложения уравнения Лиувилля к практическим расчетам ионно-оптических систем. Показано, что для усредненных характеристик распределения частиц в фазовом пространстве можно значительно уменьшить затраты памяти за счет использования приближенной цепочки уравнений относительно моментов и семинвариантов.

Рассматривается некорректность (отсутствие существования и единственности решения) постановки задачи Коши для стационарного уравнения Лиувилля. Показано, что за счет специальной замены переменных и интегрирования уравнения вдоль эвидистантных относительно стартовой поверхности сечений фазового пространства некорректность задачи Коши устраняется. Лит. - 10 назв., ил. - 1.

А.С.Бердников (НГО АН СССР)

## АЛГОРИТМЫ РЕШЕНИЯ ЗАДАЧ ТРАНСПОРТИРОВКИ ЗАРЯЖЕННЫХ ЧАСТИЦ С ПОМОЩЬЮ ФУНКЦИИ РАСПРЕДЕЛЕНИЯ

Представления о фазовом пространстве и связанные с этим понятия (эмиттанс, аксептанс и т.д.) давно и плодотворно используются в электронной и ионной оптике [1-5]. Применение этих понятий связано прежде всего с фундаментальными результатами типа теоремы Лиувилля. На практике расчет электронно- или ионно-оптической системы проводится преимущественно путем расчета траекторий, а распределение частиц в фазовом пространстве привлекается только для более наглядного представления результатов. Безусловно, расчет траекторий (численный или аналитический) дает наиболее исчерпывающую информацию о движении заряженных частиц, однако получение этой информации требует огромных затрат человеческого и машинного времени. Для многих приложений информация о том, в какую точку из какой и с какой скоростью пришла частица, оказывается избыточной. При решении таких задач существенны только начальные и конечные характеристики пучка, т.е. распределения в фазовом пространстве. Представляется соблазнительным получать эти фазовые характеристики пучка непосредственно, т.е. без интегрирования уравнений движения. Возможности получения фазовых характеристик пучка на основании уравнения Лиувилля рассматриваются в данной статье.

Рассмотрим двухмерную плоскую модель движения заряженных частиц. Пусть  $P(x, y, v_x, v_y, t)$  — плотность распределения частиц в фазовом пространстве в момент времени  $t$ , так что число частиц в элементе объема фазового пространства равно  $P(x, y, v_x, v_y, t) dx dy dv_x dv_y$ . Если движение частиц происходит в чисто электростатическом поле с потенциалом  $U(x, y)$ , то функция  $P$  должна удовлетворять уравнению Лиувилля:

$$\frac{\partial P}{\partial t} + \frac{\partial P}{\partial x} v_x + \frac{\partial P}{\partial y} v_y + \frac{\partial P}{\partial v_x} \left( -\frac{e}{m} \frac{\partial U}{\partial x} \right) + \frac{\partial P}{\partial v_y} \left( -\frac{e}{m} \frac{\partial U}{\partial y} \right) = 0. \quad (1)$$

Если к уравнению (1) добавить условия для задачи Коши

$$P(x, y, v_x, v_y, t)|_{t=0} = \rho_0(x, y, v_x, v_y), \quad (2)$$

то с физической точки зрения уравнения (1) и (2) будут описывать эволюцию во времени ансамбля частиц с заданным начальным распределением. Теорема существования и единственности [6] гарантирует математическую корректность задачи (1), (2) (здесь и далее корректность понимается в смысле существования и единственности решения).

Прямому численному решению задачи (1), (2) мешает большая размерность задачи:

для представления среза функции распределения в момент времени  $t = \text{const}$  необходимо использовать четырехиндексную матрицу. Но для большинства приложений детальное знание плотности распределения не нужно – достаточно знать некоторый набор интегральных характеристик типа среднего значения, дисперсии и т.д. Это позволяет заменить уравнение (1) несколькими приближенными уравнениями меньшей размерности.

Рассмотрим преобразование Фурье от функции  $\rho$  по переменным  $v_x, v_y$  (преобразование заведомо существует, если функция  $\rho$  финитна в пространстве скоростей):

$$F(x, y, \omega_x, \omega_y, t) = \int_{-\infty}^{\infty} \int_{-\infty}^{\infty} dv_x dv_y \rho(x, y, v_x, v_y) \exp(-i(\omega_x v_x + \omega_y v_y)). \quad (3)$$

Из уравнения (1) следует, что функция  $F$ , определенная согласно (3), удовлетворяет уравнению

$$\frac{\partial F}{\partial t} + i \left( \frac{\partial^2 F}{\partial x \partial \omega_x} + \frac{\partial^2 F}{\partial y \partial \omega_y} \right) + i \left( -\frac{e}{m} \right) \left( \frac{\partial U}{\partial x} \omega_x + \frac{\partial U}{\partial y} \omega_y \right) F = 0. \quad (4)$$

Поскольку вероятностные моменты от функции распределения  $\rho$  по переменным  $v_x, v_y$  совпадают со значениями производных от  $F$  по переменным  $\omega_x, \omega_y$  при  $\omega_x = 0, \omega_y = 0$ , то из уравнения (4) легко получается бесконечная цепочка уравнений для моментов:

$$\left\{ \begin{array}{l} M_{nk}(x, y, t) = \int dv_x dv_y (v_x)^n (v_y)^k \rho(x, y, v_x, v_y, t) = \\ = (i)^{n+k} \frac{\partial^{n+k} F(x, y, \omega_x, \omega_y)}{(\partial \omega_x)^n (\partial \omega_y)^k} \Big|_{\omega_x=0, \omega_y=0} \\ \\ \frac{\partial M_{00}}{\partial t} + \frac{\partial M_{10}}{\partial x} + \frac{\partial M_{01}}{\partial y} = 0 \\ \frac{\partial M_{10}}{\partial t} + \frac{\partial M_{20}}{\partial x} + \frac{\partial M_{11}}{\partial y} + \frac{e}{m} \frac{\partial U}{\partial x} M_{00} = 0 \\ \frac{\partial M_{01}}{\partial t} + \frac{\partial M_{11}}{\partial x} + \frac{\partial M_{02}}{\partial y} + \frac{e}{m} \frac{\partial U}{\partial y} M_{00} = 0 \\ \\ \frac{\partial M_{20}}{\partial t} + \frac{\partial M_{30}}{\partial x} + \frac{\partial M_{21}}{\partial y} + \frac{e}{m} \frac{\partial U}{\partial x} M_{10} = 0 \\ \frac{\partial M_{02}}{\partial t} + \frac{\partial M_{12}}{\partial x} + \frac{\partial M_{03}}{\partial y} + \frac{e}{m} \frac{\partial U}{\partial y} M_{01} = 0 \\ \frac{\partial M_{11}}{\partial t} + \frac{\partial M_{21}}{\partial x} + \frac{\partial M_{12}}{\partial y} + \frac{e}{m} \left( \frac{\partial U}{\partial x} M_{01} + \frac{\partial U}{\partial y} M_{10} \right) = 0 \\ \dots \end{array} \right. \quad (5)$$

Полученная бесконечная цепочка уравнений оказывается эквивалентной исходному уравнению (I), поскольку при не слишком обременительных предположениях по последовательности моментов однозначно восстанавливается функция распределения  $P$  [7].

Оборнем на некотором шаге бесконечную систему уравнений (5), дополнив ее алгебраическими уравнениями, выражающими старшие моменты через младшие (прием, применяемый в статистической физике [8] при построении цепочек уравнений ББГКИ (Боголюбова–Борна–Грина–Кирквуда–Ивона)). Полученная приближенная система будет требовать вместо одной четырехиндексной матрицы несколько двухмерных матриц, так что она вполне может быть решена на ЭВМ средней мощности.

Заменим функцию  $F$  на ее логарифм:

$$G(x, y, \omega_x, \omega_y, t) = \ln(F(x, y, \omega_x, \omega_y, t)).$$

Поскольку при  $\omega_x = 0, \omega_y = 0$  функция  $F = \int P dx dy > 0$ , то функция  $G$  корректно определена в окрестности точки  $\omega_x = 0, \omega_y = 0$ . По ряду причин функция  $G$  оказывается более удобной для использования, чем исходная функция  $F$ . Функция  $G$  удовлетворяет уравнению

$$\begin{aligned} \frac{\partial G}{\partial t} + i \left( \frac{\partial G}{\partial x} \frac{\partial G}{\partial \omega_x} + \frac{\partial G}{\partial y} \frac{\partial G}{\partial \omega_y} + \frac{\partial^2 G}{\partial x \partial \omega_x} + \frac{\partial^2 G}{\partial y \partial \omega_y} \right) = \\ = i \left( \frac{e}{m} \right) \left( \frac{\partial U}{\partial x} \omega_x + \frac{\partial U}{\partial y} \omega_y \right). \end{aligned} \quad (6)$$

Производные от функции  $G$ , называемые семиинвариантами, также образуют полную систему статистических характеристик функции распределения [9]. Из уравнения (6) следует, что семиинварианты удовлетворяют цепочке уравнений:

$$\left\{ \begin{array}{l} S_{nk}(x, y, t) = (i)^{n+k} \left. \frac{\partial^{n+k} G(x, y, \omega_x, \omega_y, t)}{(\partial \omega_x)^n (\partial \omega_y)^k} \right|_{\omega_x=0, \omega_y=0} \\ \\ \frac{\partial S_{00}}{\partial t} + \frac{\partial S_{00}}{\partial x} S_{10} + \frac{\partial S_{00}}{\partial y} S_{01} + \frac{\partial S_{10}}{\partial x} + \frac{\partial S_{01}}{\partial y} = 0 \\ \\ \frac{\partial S_{10}}{\partial t} + \frac{\partial S_{00}}{\partial x} S_{20} + \frac{\partial S_{00}}{\partial y} S_{11} + \frac{\partial S_{10}}{\partial x} S_{10} + \frac{\partial S_{10}}{\partial y} S_{01} + \\ + \frac{\partial S_{20}}{\partial x} + \frac{\partial S_{11}}{\partial y} = \left( -\frac{e}{m} \frac{\partial U}{\partial x} \right) \\ \\ \frac{\partial S_{01}}{\partial t} + \frac{\partial S_{00}}{\partial x} S_{11} + \frac{\partial S_{00}}{\partial y} S_{02} + \frac{\partial S_{01}}{\partial x} S_{01} + \frac{\partial S_{01}}{\partial y} S_{01} + \\ + \frac{\partial S_{11}}{\partial x} + \frac{\partial S_{02}}{\partial y} = \left( -\frac{e}{m} \frac{\partial U}{\partial y} \right) \end{array} \right. \quad (7)$$

$$\left| \begin{array}{l}
 \frac{\partial S_{20}}{\partial t} + \frac{\partial S_{20}}{\partial x} S_{10} + 2 \frac{\partial S_{10}}{\partial x} S_{20} + \frac{\partial S_{00}}{\partial x} S_{30} + \frac{\partial S_{20}}{\partial y} S_{01} + 2 \frac{\partial S_{10}}{\partial y} S_{11} + \\
 + \frac{\partial S_{00}}{\partial y} S_{12} + \frac{\partial S_{30}}{\partial x} + \frac{\partial S_{21}}{\partial y} = 0 \\
 \\
 \frac{\partial S_{11}}{\partial t} + \frac{\partial S_{11}}{\partial x} S_{10} + \frac{\partial S_{10}}{\partial x} S_{11} + \frac{\partial S_{01}}{\partial x} S_{20} + \frac{\partial S_{00}}{\partial x} S_{21} + \frac{\partial S_{11}}{\partial y} S_{01} + \\
 + \frac{\partial S_{10}}{\partial y} S_{02} + \frac{\partial S_{10}}{\partial y} S_{11} + \frac{\partial S_{00}}{\partial y} S_{12} + \frac{\partial S_{21}}{\partial x} + \frac{\partial S_{12}}{\partial y} = 0
 \end{array} \right.$$

В отличие от моментов  $M_{nk}$ , которые неограниченно возрастают с ростом номера, последовательность семиинвариантов  $S_{nk}$  достаточно быстро сходится к нулю для "обычных" распределений и легко обрывается, начиная с некоторого номера. Так, для гауссовского распределения все семиинварианты выше второго порядка тождественно равны нулю (однако гауссовское распределение – единственное, обладающее конечным рядом ненулевых семиинвариантов). Бесконечная цепочка уравнений (7) эквивалентна бесконечной цепочке уравнений (5), поскольку между семиинвариантами и моментами существует однозначная связь.

Уравнение (1) используется в самых различных областях (уравнения Лиувилля, Больцмана, Власова и т.д.) и в силу этого довольно хорошо исследовано. Большинство приближенных методов решения уравнения (1) можно интерпретировать как более или менее удачную аппроксимацию характеристической функции (т.е. преобразования Фурье  $F$  от плотности распределения  $\rho$ ). Так, разложение функции  $F$  в ряд Тейлора в окрестности нуля эквивалентно нахождению первых моментов от функции распределения. Разложение функции  $F$  в ряд из комплексных экспонент соответствует представлению плотности распределения в виде ряда из дельта-функций, т.е. прямому моделированию методом Монте-Карло. При решении уравнения Больцмана методом Чепмена-Энскога, когда функция распределения представляется через многочлены, ортогональные с весом  $x^\alpha \exp(-\beta^2 x^2)$  [10], аппроксимация функции  $F$  принимает вид:

$$F(\omega) = \exp(-\omega^2/\beta^2) (H_0 + H_1 (-i\omega) + H_2 (-i\omega)^2 + \dots).$$

Наконец, представлению функции плотности через семиинварианты соответствует представление функции  $F$  в виде

$$F(\omega) = \exp(S_0 + S_1 (-i\omega) + S_2 (-i\omega)^2 + S_3 (-i\omega)^3 + \dots).$$

Из последнего представления, в частности, следует, что для хорошей сходимости необходимо обрывать ряд для семиинвариантов для номеров вида  $4k+2$  или  $4k+3$  (иначе функция  $F$  не будет стремиться к 0 на бесконечности).

Задача решения уравнения Лиувилля в стационарном случае (т.е. когда электростатический потенциал  $U(x, y)$  и плотность распределения  $\rho(x, y, v_x, v_y)$  не зависят от времени  $t$ ) оказывается более сложной. В этом случае уравнение (1) принимает вид:

$$\frac{\partial \rho}{\partial x} v_x + \frac{\partial \rho}{\partial y} v_y + \frac{\partial \rho}{\partial v_x} \left( -\frac{e}{m} \frac{\partial U}{\partial x} \right) + \frac{\partial \rho}{\partial v_y} \left( -\frac{e}{m} \frac{\partial U}{\partial y} \right) = 0,$$

$$\rho(x, y, v_x, v_y) \Big|_{x=0} = \rho_0(y, v_x, v_y). \quad (8)$$

Физически уравнение (8) с начальным условием задачи Коши описывает транспортировку пучка в статическом поле при заданном начальном эмиттансе (здесь и далее под эмиттансом понимается срез функции распределения по фиксированной координате, а не геометрическая область, внутри которой функция распределения отлична от нуля).

Сделаем замену переменных  $(v_x, v_y) \rightarrow (E, \alpha)$ :

$$\begin{cases} E = m \frac{(v_x)^2 + (v_y)^2}{2} + eU(x, y) \\ \alpha = \operatorname{arctg}(v_y/v_x) \end{cases}$$

В новых переменных уравнение для функции  $\rho(x, y, E, \alpha)$  имеет вид:

$$\frac{\partial \rho}{\partial x} \cos \alpha + \frac{\partial \rho}{\partial y} \sin \alpha + \frac{2}{E - eU(x, y)} \frac{\partial \rho}{\partial \alpha} \left( \frac{\partial U}{\partial y} \cos \alpha - \frac{\partial U}{\partial x} \sin \alpha \right),$$

$$\rho(x, y, E, \alpha) \Big|_{x=0} = \rho_0(y, E, \alpha). \quad (9)$$

В результате число активных переменных в уравнении (9) уменьшилось. Если ввести вероятностные характеристики (моменты, семиинварианты), рассматривая преобразование Фурье по переменным  $\operatorname{tg} \alpha$  и  $\frac{1}{E - eU(x, y)}$ , (т.е. по тангенсу угла наклона вектора скорости и по обратной кинетической энергии), то получаемая цепочка уравнений при своем решении будет требовать использования лишь одномерных массивов.

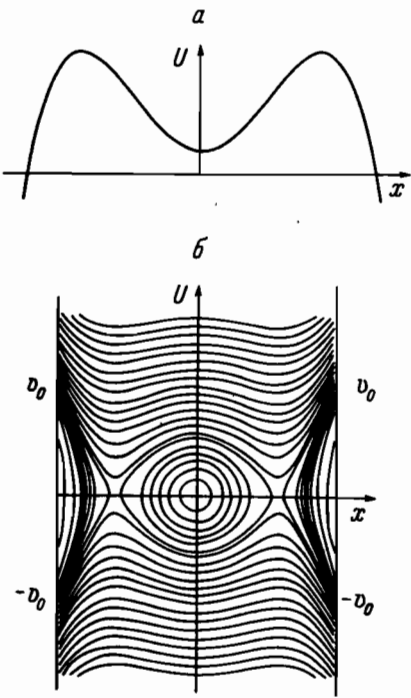
Существенное отличие уравнений (1), (2) от уравнений (7), (8) состоит, однако, в том, что задача Коши перестает быть корректной, т.е. решение задачи не всегда существует, а если и существует, то не всегда единственno. Формально эта некорректность связана с тем, что коэффициент при  $\partial \rho / \partial x$  обращается в ноль [6]. С физической точки зрения некорректность возникает из-за возможности возвратных траекторий.

На рисунке показана одномерная модель движения с потенциалом  $U(x, y) = Ax^2 - Bx^4$  и фазовые траектории в плоскости  $(x, v)$ , являющиеся линиями уровня функции  $\rho(x, v)$  и характеристиками для уравнения (8). Отсюда ясно, что:

начальное значение функции  $\rho(x, v)$  при  $x = x_0$  не может быть произвольным: значения  $\rho$  при  $x = x_0$  и  $v \in [0, V_0]$  совпадают со значениями  $\rho$  при  $x = x_0$  и  $v \in [-V_0, 0]$ ; значения функции  $\rho$  в конечной плоскости  $x = x$ , при  $v \in [-V_0, V_0]$  никак не связаны с начальными значениями  $\rho$  при  $x = x_0$  и могут быть произвольными при заданных начальных условиях;

существует область фазовой плоскости, в которой функция распределения определяется не краевыми (при  $x = x_0$ ,  $x = x_1$ ) условиями, а предысторией ансамбля заряженных частиц.

Указанную некорректность задачи Коши можно исправить, если модифицировать постановку задачи. Заменим переменную  $x$  на новую переменную  $\ell = L(x, y, v_x, v_y)$ ,



Движение заряженных частиц в одномерном модельном поле:  
а – одномерный потенциал  
 $U(x,y) = Ax^2 - Bx^4$ ; б – фазовые траектории в плоскости  $(x,v)$

потребуем, чтобы функция  $L(x,y,E,\alpha)$  для точки фазового пространства, проведенной из данной точки до пересечения со стартовой поверхностью, соответствующей выходному сечению, имела значение  $L(x,y,E,\alpha)$  для точки фазового пространства, соответствующей выходному сечению, и если мы

в силу такого физического смысла функции  $L$  решение задачи (II) будет эквивалентно расчету функции распределения вдоль последовательных равноудаленных от стартовой поверхности (в смысле длины соединяющих траекторий) поверхностей фазового пространства. Значение эмиттанса в выходном сечении получается в результате определения точек пересечения последовательных фазовых поверхностей и сечения фазового пространства, соответствующего выходному сечению ионно-оптической системы. Если для каких-то точек выходного сечения не найдется пересекающей фазовой поверхности, то это будет означать, что для данной точки не существует траектории, проходящей через стартовую поверхность. Значение эмиттанса, т.е. функции  $P(x,y,E,\alpha)$  в такой точке следует положить равным нулю.

Данный метод модификации задачи Коши можно назвать методом эквидистантных фазовых поверхностей в силу физического смысла функции  $L(x,y,E,\alpha)$ . В случае возвратных или замкнутых траекторий функция  $L(x,y,E,\alpha)$  может перестать быть однозначной функцией точки фазового пространства, однако корректность задачи Коши

$$\text{где функция } L \text{ должна удовлетворять уравнению} \\ -\frac{\partial L}{\partial x} \cos \alpha + \frac{\partial L}{\partial y} \sin \alpha + \frac{\partial L}{\partial \alpha} \cdot \frac{2}{E - eU(x,y)} \left( \frac{\partial U}{\partial y} \cos \alpha - \right. \\ \left. - \frac{\partial U}{\partial x} \sin \alpha \right) = 1. \quad (I)$$

В таком случае уравнения для функции  $P(\ell,y,E,\alpha)$  и для обратной замены переменных  $X(\ell,y,E,\alpha)$  имеет вид:

$$\left\{ \begin{array}{l} -\frac{\partial P}{\partial x} + \frac{\partial P}{\partial y} \sin \alpha + \frac{\partial P}{\partial \alpha} \frac{2}{E - eU(x,y)} \left( \frac{\partial U}{\partial y} \cos \alpha - \right. \\ \left. - \frac{\partial U}{\partial x} \sin \alpha \right) = 0 \\ -\frac{\partial X}{\partial x} + \frac{\partial X}{\partial y} \sin \alpha + \frac{\partial X}{\partial \alpha} \frac{2}{E - eU(x,y)} \left( \frac{\partial U}{\partial y} \cos \alpha - \right. \\ \left. - \frac{\partial U}{\partial x} \sin \alpha \right) = \cos \alpha \\ P(\ell,y,E,\alpha)|_{\ell=0} = P_0(y,E,\alpha) \\ X(\ell,y,E,\alpha)|_{\ell=0} = X_0(y,E,\alpha) \end{array} \right. \quad (II)$$

В такой постановке задачи Коши для системы уравнений (II) она становится корректной, т.е. при любых функциях  $P_0, X_0$  решение существует и единственno.

Рассмотрим физический смысл проделанных преобразований. Если в фазовом пространстве задано множество точек, являющихся стартовой поверхностью для заряженных частиц, и если мы

обращались в ноль для этих точек, то значение  $L(x,y,E,\alpha)$  для точки фазового пространства будет равно длине траектории, проводимой из данной точки до пересечения со стартовой поверхностью. Таким образом, функция  $L$  будет определена для всех точек фазового пространства, через которые проходят траектории, выходящие со стартовой поверхности.

(II) сохранится. Отметим, что в правой части уравнения (10) может стоять любая гладкая, не обращающаяся в ноль, функция. Новая функция  $L^*(x, y, E, \alpha)$  будет равна интегралу от этой функции вдоль фазовой траектории, а промежуточные поверхности в фазовом пространстве будут равноудаленными в новой метрике.

В заключение надо отметить, что данная работа была бы невозможна без внимания и полезных обсуждений со стороны Ю.К.Голикова, Л.Н.Галль и А.П.Щербакова, которым автор выражает искреннюю благодарность за помощь в работе.

## ЛИТЕРАТУРА

1. Лоусон Дж. Физика пучков заряженных частиц. - М.: Мир, 1980.
2. Лихтенберг Л. Динамика частиц в фазовом пространстве. - М.: Мир, 1972.
3. Баранова Л.А., Явор С.Я. Электростатические электронные линзы. - М.: Наука, 1986.
4. Бенфорд А. Транспортировка пучков заряженных частиц. - М.: Атомиздат, 1969.
5. Галль Л.Н., Голиков Ю.К./Ахроматические электростатические транспортирующие элементы с плоскостью симметрии//Научное приборостроение: Сб. научн. тр. Л.: Наука, 1987.
6. Гюнтер Н.М. Интегрирование уравнений первого порядка в частных производных. - М.-Л.: ОНТИ-ГПТИ, 1936.
7. Ахиезер Н.И. Классическая проблема моментов. - М.: ГИФМЛ, 1961.
8. Уленбек Дж., Форд Дж. Лекции по статистической механике. - М.: Мир, 1965.
9. Ширяев В.П. Вероятность. - М.: Наука, 1982.
10. Елецкий А.В. и др. Явления переноса в слабоигнорированной плазме. - М.: Атомиздат, 1975.

М.И.Явор (НТО АН СССР)

## КРАЕВОЕ ПОЛЕ ТОРОИДАЛЬНОГО ЭНЕРГОАНАЛИЗАТОРА

Краевые поля оказывают существенное влияние на параметры ионно-оптических систем. В электростатических системах их учет особенно важен в случаях, когда ввод пучка заряженных частиц в устройство производится в зазор между электродами, имеющими различные потенциалы. Такая ситуация имеет место в секторных электростатических энергоанализаторах, в некоторых конструкциях зеркальных энергоанализаторов и т.д. [1, 2]. Простейшей моделью краевого поля секторного дефлектора является поле плоского конденсатора с экранирующей диафрагмой [3]. Эта модель позволяет правильно описать воздействие краевого поля на пучок заряженных частиц в параксиальном приближении. Однако для достаточно точного расчета коэффициентов aberrаций второго порядка и вычисления aberrаций более высоких порядков необходимо учитывать влияние на краевое поле кривизны электродов конденсатора. Потенциал краевого поля цилиндрического дефлектора может быть найден методом конформных отображений [4]. Для систем, электроды которых искривлены в аксиальном направлении (тороидальный анализатор, цилиндрическое зеркало), ситуация является более сложной. Попытка по-